

Рис. 1. Массовый спектр солнечного ветра. По горизонтальной оси — отношение массы частицы к её заряду, по вертикальной — число частиц, зарегистрированных в энергетическом окне прибора за 10 с. Цифры со знаком «+» обозначают заряд иона.

Поток С. в. является сверхзвуковым по отношению к скоростям тех типов волн, к-рые обеспечивают эф. передачу энергии в С. в. (альвеновские, звуковые и магнитозвуковые волны). Альвеновское и звуковое Mach число С. в. на орбите Земли ≈ 7 . При обтекании С. в. препятствий, способных эффективно отклонять его (магн. поля Меркурия, Земли, Юпитера, Сатурна или проводящие ионосферы Венеры и, по-видимому, Марса), образуется отошедшая головная ударная волна. С. в. тормозится и разогревается на фронте ударной волны, что позволяет ему обтекать препятствие. При этом в С. в. формируется полость — магнитосфера (собственная или индуцированная), форма и размеры к-рой определяются балансом давления магн. поля планеты и давления обтекающего потока плазмы (см. *Магнитосфера Земли, Магнитосфера планет*). В случае взаимодействия С. в. с непроводящим телом (напр., Луна) ударная волна не возникает. Поток плазмы поглощается поверхностью, а за телом образуется полость, постепенно заполняемая плазмой С. в.

На стационарный процесс истечения плазмы короны накладываются нестационарные процессы, связанные со *вспышками на Солнце*. При сильных вспышках происходит выброс вещества из ниж. областей короны в межпланетную среду. При этом также образуется ударная волна (рис. 2), к-рая постепенно замедляется, распространяясь в плазме С. в. Приход ударной волны к Земле вызывает сжатие магнитосферы, после к-рого обычно начинается развитие магн. бури (см. *Магнитные вариации*).

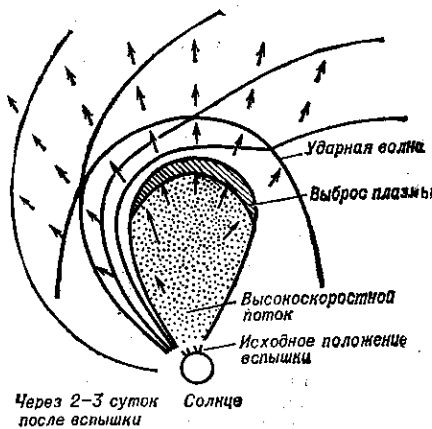


Рис. 2. Распространение межпланетной ударной волны и выброса солнечной вспышки. Стрелками показано направление движения плазмы солнечного ветра, линии без подписи — силовые линии магнитного поля.

Расширение солнечной короны описывается системой ур-ний сохранения массы, момента кол-ва движения и уравнения энергии. Решения, отвечающие разл. характеру изменения скорости с расстоянием, показаны на рис. 3. Решение 1 и 2 соответствуют малым скоростям в основании короны. Выбор между этими двумя решениями определяется условиями на бесконечности. Решение

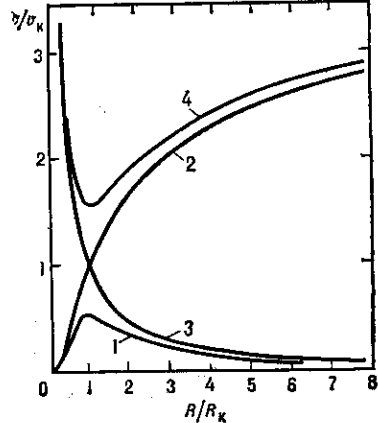


Рис. 3. Типы решений уравнения расширения короны. Скорость и расстояние нормированы на критическую скорость v_k и критическое расстояние R_k . Решение 2 соответствует солнечному ветру.

1 соответствует малым скоростям расширения короны и даёт большие значения давления на бесконечности, т. е. встречается с теми же трудностями, что и модель статич. короны. Решение 2 соответствует переходу скорости расширения через значения скорости звука (v_k) на нек-ром критич. расстоянии R_k и последующему расширению со сверхзвуковой скоростью. Это решение даёт исчезающее малое значение давления на бесконечности, что позволяет согласовать его с малым давлением межзвёздной среды. Решение этого типа Ю. Паркер назвал С. в. Критич. точка находится над поверхностью Солнца, если темп-ра короны меньше нек-рого критич. значения $T_k = GM_\odot m / 4\pi R_\odot^3 \gamma$, где m — масса протона, γ — показатель адиабаты, M_\odot — масса Солнца. На рис. 4 показано

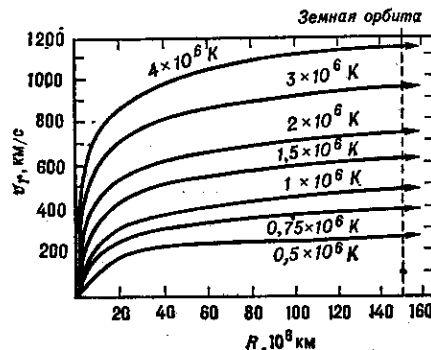


Рис. 4. Профили скорости солнечного ветра для модели изотермической короны при различных значениях корональной температуры.

изменение скорости расширения с гелиоцентрич. расстоянием в зависимости от темп-ры изотермич. изотропной короны. Последующие модели С. в. учитывают вариации корональной темп-ры с расстоянием, двухжидкостный характер среды (электронный и протонный газы), теплопроводность, вязкость, несферич. характер расширения.

С. в. обеспечивает осн. отток тепловой энергии короны, т. к. теплопередача в хромосфере, эл.-магн. излучение короны и электронная теплопроводность С. в. недостаточны для установления теплового баланса короны. Электронная теплопроводность обеспечи-